

Reprezentacja i przetwarzanie danych w przestrzeni funkcji sferycznych, zastosowanie w algorytmach uczenia maszynowego

Kamil Bartocha¹

¹Wydział Matematyki Stosowanej AGH
al. Mickiewicza 30
30-059 Kraków

Agenda



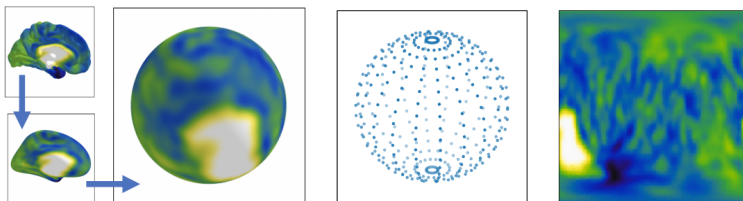
- 1 Wstęp
- 2 Prezentacja problemu
- 3 Algorytm konwolucyjnej sferycznej sieci neuronowej
- 4 Odwrócona transformata Fouriera dla $SO(3)$
- 5 Twierdzenia
- 6 Eksperymenty numeryczne
- 7 Podsumowanie

1. Wstęp

Algorytm sferycznej konwolucyjnej sieci neuronowej SCNN (ang. spherical convoluneural network) pozwala przetwarzać obrazy za pomocą technik uczenia głębokiego.

Znajduje on zastosowanie w dziedzinie badań opartych na danych 3D tj.

- badanie metodą rezonansu magnetycznego (MRI),
- modelowanie molekularne.



Rysunek: Modelowanie korowe z użyciem SCNN.

2. Prezentacja problemu



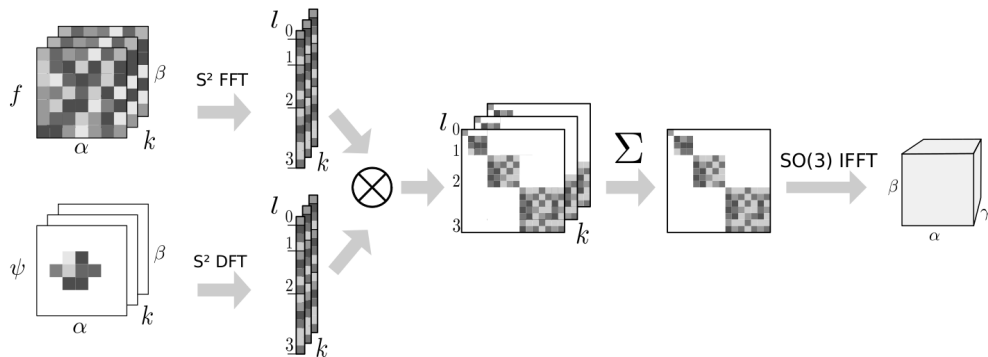
Problem:

Jakiej klasy funkcje mogą zostać użyte w algorytmie [1] SCNN wykorzystującym uogólnioną szybką transformatę Fouriera?

$$f(R) \approx \sum_{l=0}^b (2l+1) \sum_{m=-l}^l \sum_{n=-l}^l \hat{f}_{mn}^l D_{mn}^l(R).$$

[1] Taco S. Cohen, Mario Geiger, Jonas Köhler, Max Welling. Spherical CNNs. 2018

3. Algorytm konwolucyjnej sferycznej sieci neuronowej



Rysunek: Algorytm konwolucyjnej sferycznej sieci neuronowej

4. Odwrócona transformata Fouriera dla $SO(3)$



Dzięki własnościom:

- Przestrzeń funkcji D-Wignera jest zupełna oraz stanowi bazę.
- Funkcje D-Wignera $D_{mn}^l D_{m'n'}^{l'} \in SO(3)$ są ortogonalne.

Funkcja $f : SO(3) \rightarrow \mathbb{C}$ może być przedstawiona jako kombinacja liniowa funkcji D-Wignera.

Możemy zdefiniować uogólnioną transformację Fouriera \mathcal{F} w grupie $SO(3)$

$$f(R) = [\mathcal{F}^{-1}\hat{f}](R) = \sum_{l=0}^{\infty} (2l+1) \sum_{m=-l}^l \sum_{n=-l}^l \hat{f}_{mn}^l D_{mn}^l(R), \quad (1)$$

$$f(R) \approx \sum_{l=0}^b (2l+1) \sum_{m=-l}^l \sum_{n=-l}^l \hat{f}_{mn}^l D_{mn}^l(R), \quad (2)$$

5. Twierdzenia



Zaproponowane twierdzenie (zbieżność błędu).

Twierdzenie

Dla dowolnej funkcji $f : SO(3) \rightarrow \mathbb{R}$ spełniającej warunek

$$\sum_{l=0}^{+\infty} (2l+1)^{\frac{5}{2}} \sup_{|m|, |n| \leq l} |\hat{f}_{mn}^l| < +\infty, \quad (3)$$

dla $b \rightarrow +\infty$ zachodzi

$$\pi_b f \xrightarrow{L^2(SO(3))} f. \quad (4)$$

5. Twierdzenia

Dowód

$$\begin{aligned}\|\pi_b f - f\|_{L^2(SO(3))} &= \left\| \sum_{l=b+1}^{\infty} (2l+1) \sum_{m=-l}^l \sum_{n=-l}^l \hat{f}_{mn}^l D_{mn}^l \right\|_{L^2(SO(3))} \\ &\leq \sum_{l=b+1}^{\infty} (2l+1) \sum_{m=-l}^l \sum_{n=-l}^l \|\hat{f}_{mn}^l D_{mn}^l\|_{L^2(SO(3))} \quad (5) \\ &\leq \sum_{l=b+1}^{\infty} (2l+1)^{\frac{5}{2}} \sup_{|m|, |n| \leq l} |\hat{f}_{mn}^l|\end{aligned}$$

Zauważmy, że dla b zbiegającego do nieskończoności wyrażenie otrzymane w (5) $\sum_{l=b+1}^{\infty} (2l+1)^{\frac{5}{2}} \sup_{|m|, |n| \leq l} |\hat{f}_{mn}^l|$ dąży do 0, ponieważ jest to suma ogonowa szeregu zbieżnego co dowodzi tezę.

5. Twierdzenia



Zaproponowane twierdzenie (oszacowanie błędu).

Twierdzenie

Dla funkcji $f : SO(3) \rightarrow \mathbb{R}$ oraz dla $b \in \mathbb{N}$ błąd aproksymacji jest ograniczony oraz zachodzi szacowanie

$$\|\pi_b f - f\|_{L^2(SO(3))} \leq \sum_{l=b+1}^{\infty} (2l+1)^{\frac{5}{2}} \sup_{|m|, |n| \leq l} |\hat{f}_{mn}^l|. \quad (6)$$

Dzięki powyższemu rezultatowi, wiemy że algorytm obliczający korelację sferyczną działa poprawnie dla odpowiednio dużego współczynnika b pod warunkiem, że funkcja jest odpowiedniej klasy, czyli spełnia warunek (6).

6. Eksperymenty numeryczne



Rozważmy funkcję

$$f(R) = \sum_{l=0}^{+\infty} (2l+1) \sum_{m=-l}^l \sum_{n=-l}^l c_{mn}^l D_{mn}^l(R), \quad (7)$$

Przeprowadźmy szacowanie

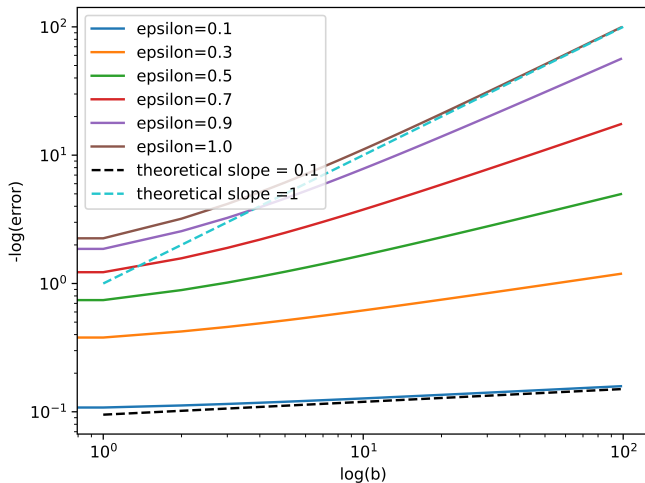
$$\begin{aligned} \|\pi_b f - f\|_{L^2(SO(3))} &\leq \sum_{l=b+1}^{+\infty} (2l+1)^{\frac{1}{2}} \sum_{m=-l}^l \sum_{n=-l}^l |c_{mn}^l| (2l+1)^{\frac{1}{2}} \\ &\leq \sum_{l=b+1}^{+\infty} (2l+1)^{\frac{5}{2}} |c^l|. \end{aligned} \quad (8)$$

przyjmijmy następnie $c^l = (2l+1)^{-\frac{5}{2}} \frac{1}{l^{1+\epsilon}}$. Szacując błąd dla $\epsilon > 0$ otrzymujemy

$$\|\pi_b f - f\|_{L^2(SO(3))} \leq \sum_{l=b+1}^{+\infty} (2l+1)^{-\frac{5}{2}} (2l+1)^{\frac{5}{2}} \frac{1}{l^{1+\epsilon}} = \sum_{l=b+1}^{+\infty} \frac{1}{l^{1+\epsilon}}.$$

6. Eksperymenty numeryczne

Wykres tempa zbieżności dla przykładu 2.



7. Podsumowanie



Reasumując powyższe rozważania można stwierdzić, że uogólniona szybka transformacja Fouriera wykorzystywana w algorytmie sferycznej konwolucyjnej sieci neuronowej pozwala efektywnie aproksymować sygnały.

Pokazaliśmy, że algorytm obliczający korelację sferyczną działa poprawnie dla odpowiednio dużego współczynnika b pod warunkiem, że funkcja $f : SO(3) \rightarrow \mathbb{R}$ jest odpowiedniej klasy, czyli spełnia warunek

$$\sum_{l=0}^{+\infty} (2l+1)^{\frac{5}{2}} \sup_{|m|, |n| \leq l} |\hat{f}_{mn}^l| < +\infty,$$

zaś błąd aproksymacji jest ograniczony i zachodzi oszacowanie

$$\|\pi_b f - f\|_{L^2(SO(3))} \leq \sum_{l=b+1}^{\infty} \sup_{|m|, |n| \leq l} (2l+1)^{\frac{5}{2}} |\hat{f}_{mn}^l|.$$